

ВЛИЯНИЕ РАСПОЛОЖЕНИЯ ВОЛОКОН НА ПАРАМЕТРЫ КОНТАКТА «ВАЛ – ВТУЛКА» ДЛЯ ПОДШИПНИКОВ СКОЛЬЖЕНИЯ ИЗ КОМПОЗИТОВ

Можаровский В. В., Киргинцева С. В.

Гомельский государственный университет имени Франциска Скорины

Введение. Для обеспечения надежного срока службы, достаточно высоких антифрикционных свойств и износостойкости подшипников сухого трения необходим оптимальный выбор допустимых значений действующей нагрузки, скорости скольжения, температуры и других параметров и их соответствия физико-механическим свойствам для применяемых материалов пары трения «втулка – вал» при принятых геометрических соотношениях.

В инженерной практике для изготовления подшипников скольжения широко применяются композиционные материалы на основе фенольных и полиамидных смол, а также материалы, которые армированы волокнами, то есть композиты. Они имеют хорошие механические свойства, малый удельный вес, высокие динамические свойства, низкие коэффициенты трения. Расчет давлений для втулок подшипника при контактном взаимодействии, в основном, построен на изотропных свойствах материала. Но современные волокнистые композиты имеют выраженную анизотропию механических свойств. Эти особенности необходимо учитывать при расчете и конструировании подшипников скольжения при сухом и граничном трении по удельному давлению.

В данной работе создана математическая модель, которая применяется при разработке алгоритма инженерного расчета давления при контактном взаимодействии для системы «вал – втулка из волокнистого материала» на основе математической теории упругости анизотропного тела. Следует отметить, что при использовании волокнистых композитов в качестве материала для втулки предлагается расположить волокна тремя способами: перпендикулярно, параллельно и радиально оси втулки (рисунок 1).

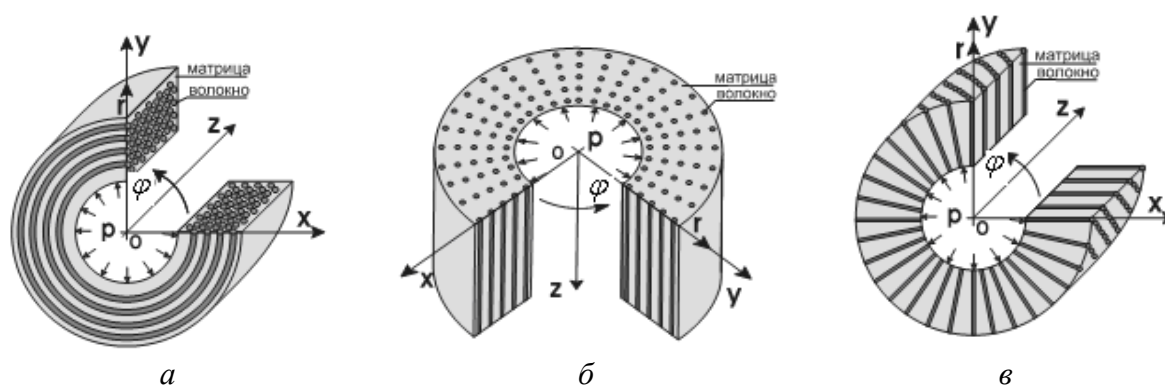


Рис. 1. Расположение волокон во втулке по отношению к ее оси (здесь обозначено $\varphi r z$ и $x y z$ – цилиндрическая и декартова системы координат): *a* – перпендикулярно; *б* – параллельно; *в* – радиально

Некоторые механические свойства ортотропных материалов (модули упругости, коэффициенты Пуассона) и основные уравнения для описания контактного взаимодействия цилиндрических тел из композитов представлены в работах [1–5]. Для определения контактных параметров (давление, зона контакта, напряжений и т. д.) при взаимодействии системы «вал – втулка» можно использовать модифицированное решение ти-

па Г. Герца для случая внутреннего касания цилиндров при малых зонах контакта. Рассмотрим композиционный материал, армированный волокнами, которые ориентированы в направлении одной из осей X или Y (координатные оси совпадают с основными направлениями материала).

Математические модели расчета контактных параметров для подшипников скольжения из волокнистых композитов. Представим расчет напряженного состояния ортотропного тела, при взаимодействии вала с втулкой композита, подверженного воздействию поверхностного давления p , распределенного в соответствии с законом

$$p(x) = p_0 \sqrt{a^2 - x^2}, p_0 = 2P / (L\pi a^2);$$

или согласно [1]

$$p(x) = m \frac{R_1 - R_2}{R_1 R_2} \sqrt{a^2 - x^2}, \quad (1)$$

где R_1 и R_2 – радиусы двух взаимодействующих тел – втулки и цилиндра (мм); P и L – действующее усилие и длина цилиндра, параметр $m = \left[((\beta_1 + \beta_2)S_{22})^{(1)} + ((\beta_1 + \beta_2)S_{22})^{(2)} \right]^{-1}$, индексы (1) и (2) характеризуют материалы двух взаимодействующих тел, величины $\beta_{1,2}$ для каждого цилиндра вычисляются по формулам [1]

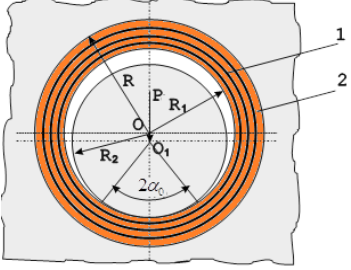
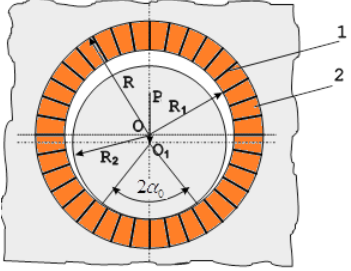
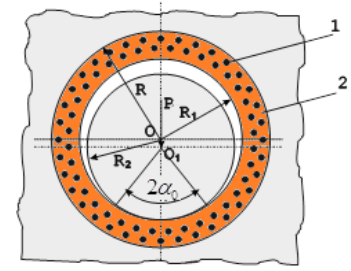
$$\beta_{1,2} = \left(\sqrt{\frac{S_{66} + 2S_{12} \pm \sqrt{(S_{66} + 2S_{12})^2 - 4S_{11}S_{22}}}{2S_{11}}} \right)^{-1}, \quad (2)$$

где постоянные $S_{i,j}$ при плоской деформации определяются из [1] следующим образом:

$$S_{11} = (1 - \nu_{13}\nu_{31}) / E_1, S_{12} = -(\nu_{12} + \nu_{13}\nu_{31}) / E_1, S_{22} = (1 - \nu_{32}\nu_{23}) / E_2, S_{66} = 1 / G_{12},$$

индексы i, j технических постоянных материалов цилиндров (модуля упругости E (МПа), коэффициента Пуассона ν и модуля сдвига G (МПа)) характеризуют различные направления и вычисляются по зависимостям по правилу смесей (таблица 1, здесь на схемах цифрами 1 и 2 обозначаются соответственно волокна и матрица).

Таблица 1 – Зависимости для определения модулей упругости и коэффициентов Пуассона [5] (индексы 1, 2, 3 соответствуют x, y, z или φ, r, z) волокнистых материалов при различных расположениях волокон

Расчетная схема по- шипника скольжения	Механические свойства
<p>Перпендикулярное рас- положение волокон по отношению к оси втулки</p> 	$E_2 = E_m \frac{1 + \eta V}{1 - \eta V}, \quad E_1 = VE_f + (1 - V)E_m, \quad E_3 = E_2,$ $\nu_{12} = V\nu_f + (1 - V)\nu_m, \quad \nu_{31} = \nu_{21}, \quad \nu_{13} = \nu_{12}, \quad \nu_{21} = \frac{E_2}{E_1}\nu_{12},$ $\nu_{23} = 1 - \nu_{21} - \frac{E_2}{3K}, \quad \nu_{32} = \nu_{23}, \quad \nu_{13} = \frac{E_1}{E_3}\nu_{31},$ $K_m = \frac{E_m}{3 - 6\nu_m}, \quad K_f = \frac{E_f}{3 - 6\nu_f}, \quad K = \frac{K_f K_m}{VK_m + (1 - V)K_f},$ $\eta = \frac{E_f - E_m}{E_f + E_m}, \quad G_{12} = G_m \frac{G_f(1 + V) + G_m(1 - V)}{G_f(1 - V) + G_m(1 + V)}.$
<p>Радиальное расположе- ние волокон по отноше- нию к оси втулки</p> 	$E_2 = VE_f + (1 - V)E_m, \quad E_1 = \frac{E_f E_m}{VE_m + (1 - V)E_f}, \quad E_3 = E_1,$ $\nu_{12} = V\nu_f + (1 - V)\nu_m, \quad \nu_{13} = 1 - \nu_{12} - \frac{E_1}{3K},$ $\nu_{21} = \frac{E_2}{E_1}\nu_{12}, \quad \nu_{32} = \nu_{12}, \quad \nu_{23} = \nu_{21},$ $\nu_{31} = \nu_{13}, \quad K_f = \frac{E_f}{3 - 6\nu_f}, \quad K_m = \frac{E_m}{3 - 6\nu_m}, \quad K = \frac{K_f K_m}{VK_m + (1 - V)K_f},$ $G_{12} = G_m \frac{G_f(1 + V) + G_m(1 - V)}{G_f(1 - V) + G_m(1 + V)}$
<p>Параллельное располо- жение волокон по отноше- нию к оси втулки</p> 	$E_3 = VE_f + (1 - V)E_m, \quad E_1 = \frac{E_f E_m}{VE_m + (1 - V)E_f}, \quad E_2 = E_1,$ $\nu_{31} = V\nu_f + (1 - V)\nu_m, \quad \nu_{32} = \frac{E_3}{E_2}\nu_{23}, \quad \nu_{12} = 1 - \nu_{13} - \frac{E_1}{3K},$ $\nu_{23} = \nu_{13}, \quad K_f = \frac{E_f}{3 - 6\nu_f}, \quad K_m = \frac{E_m}{3 - 6\nu_m}, \quad K = \frac{K_f K_m}{\nu K_m + (1 - \nu)K_f},$ $\eta = \frac{E_f - E_m}{E_f + E_m}, \quad G_{12} = \frac{E_1}{2(1 + \nu_{12})}.$

Индексы f и m обозначают волокно и матрицу соответственно; V – объемное содержание волокна в матрице материала; K_f, K_m – объемные модули упругости волокна и матрицы.

Величина зоны контакта при сопряжении рассматриваемых упругих ортотропных тел определяется по формуле:

$$a = \sqrt{\frac{2PR_1R_2}{\pi mL(R_1 - R_2)}} \quad (3)$$

Для оценки применимости формул, определяющих параметры контакта для внутреннего взаимодействия изотропного цилиндра с ортотропной втулкой, нужно оценить применимость представленных формул аналогично, как сделано в работе [2] для малых зон контакта. Используя по аналогии с работой [2], в которой дан критерий применимости формул для задачи Герца для малых областей контакта взаимодействующих изотропных тел, проведем аналогичную оценку, приняв, что $a = R \sin \alpha_0$, $x = R \sin \alpha$, α_0 – угол контакта.

Исходя из того, что принимаем $R_1 \approx R_2$, $R_1 - R_2 = \varepsilon$, получим

$$a^2 = R^2 \sin^2 \alpha_0 = \frac{2PR^2}{\pi m \varepsilon} = \frac{2PR^2}{\pi \varepsilon \frac{E_2}{(\beta_1 + \beta_2)(1 - \nu_{23}\nu_{32})}},$$

здесь и в дальнейшем будем использовать линейную нагрузку на вал, т. е. вместо P/L записываем P .

Преобразовав последнее соотношение и обозначив, $\frac{P}{\varepsilon E_2} = \theta$,

$$k_1 = \frac{2(\beta_1 + \beta_2)(1 - \nu_{23}\nu_{32})}{\pi}, \text{ получим:}$$

$$\sin^2 \alpha_0 = \theta \cdot k_1. \quad (4)$$

Например, если возьмем изотропный случай $E_1 = E_2 = E$, $\nu_{ij} = \nu$ и $\nu = 0.3$, тогда значение коэффициента $k_1 = 4(1 - \nu^2) / \pi = 1,16$.

$$\text{Уравнение (1) преобразуем к виду: } \frac{p(x)}{\varepsilon} = m \frac{1}{R^2} \sqrt{a^2 - x^2}.$$

В дальнейшем для упрощения расчета будем считать, что рассматривается абсолютно жесткий вал ($E_2 = \infty$, $S_{22} = \frac{1 - \nu_{23}\nu_{32}}{E_2} \rightarrow 0$), параметр m примет вид:

$$m = [(\beta_1 + \beta_2) S_{22}^{(1)}]^{-1} = \left[(\beta_1 + \beta_2) \frac{1 - \nu_{23}\nu_{32}}{E_2} \right]^{-1} = \frac{E_2}{(\beta_1 + \beta_2)(1 - \nu_{23}\nu_{32})}.$$

Тогда

$$\frac{p(x)}{\varepsilon E_2} = \frac{1}{R^2 (\beta_1 + \beta_2)(1 - \nu_{23}\nu_{32})} \sqrt{(R \sin \alpha_0)^2 - (R \sin \alpha)^2} = \frac{1}{R (\beta_1 + \beta_2)(1 - \nu_{23}\nu_{32})} \sqrt{\sin^2 \alpha_0 - \sin^2 \alpha}.$$

Преобразовав, запишем формулу удобную для расчета изменения давлений в зоне контакта для различных материалов:

$$P_1 = \frac{p(x)Rk_1\pi}{2\varepsilon E_2} = \sqrt{\sin^2 \alpha_0 - \sin^2 \alpha}. \quad (5)$$

Влияние схемы расположения волокон во втулке подшипника на изменения контактных параметров.

Расчетный пример: Подшипниковый узел трения без смазки состоит из стального вала и втулки, выполненной из композита *Gr/Al* со следующими характеристиками: $E_f = 380$ ГПа, $E_m = 70$ ГПа, $\nu_f = 0,2$, $\nu_m = 0,34$, $G_f = 13$ ГПа, $G_m = 26$ ГПа.

На рисунке 2 показаны графики зависимости параметров $\theta \cdot k_1$ и θ от угла контакта α_0 (измеряется в градусах) для изотропного материала (сплошная зеленая кривая), а также для разного объемного содержания волокон в матрице композиционного материала (40 % и 70 %) при перпендикулярном (а), параллельном (б) и радиальном (в) расположении волокон по отношению к оси втулки.

На рисунке 3 показаны графики зависимости P_1 и P_1/k_1 от угла контакта α (измеряется в градусах) для изотропного материала, а также для разных объемных содержаний волокон в матрице композиционного материала (40 % и 70 %) при перпендикулярном (а), параллельном (б) и радиальном (в) расположении волокон по отношению к оси втулки.

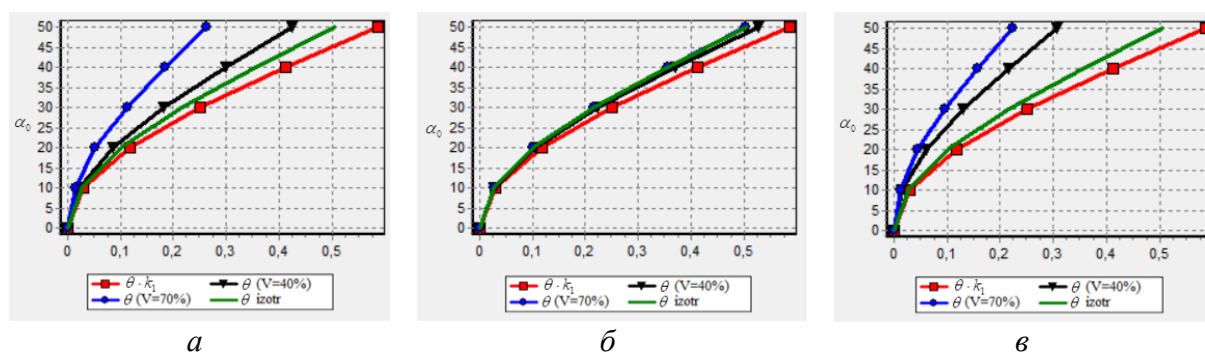


Рис. 2. Графики зависимости $\theta \cdot k_1$ и θ от α_0

при перпендикулярном (а), параллельном (б) и радиальном (в) расположении волокон по отношению к оси втулки

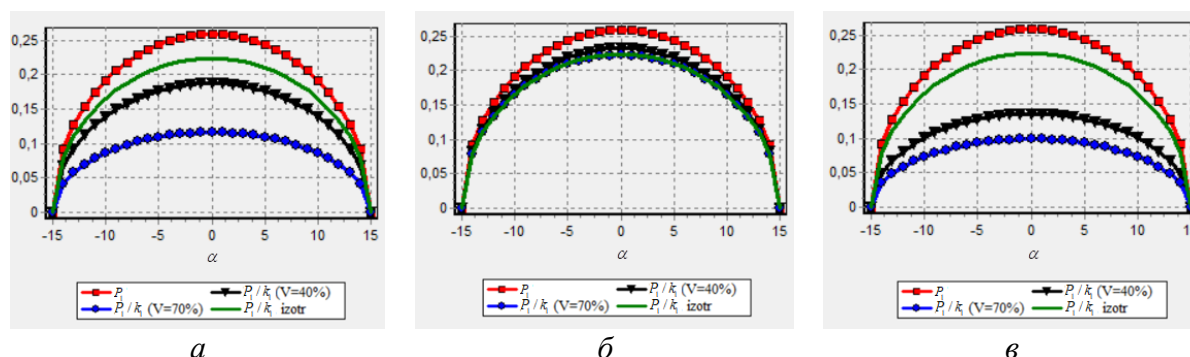


Рис. 3. Графики зависимости P_1 и P_1/k_1 от α

при перпендикулярном (а), параллельном (б) и радиальном (в) расположении волокон по отношению к оси втулки.

Заключение

1. Построенный приближенный алгоритм расчета давления и зоны контакта в зависимости от расположения и состава волокон во втулке дает возможность учитывать и давать оценку о влиянии их на контактное давление и зону контакта в подшипнике скольжения.

2. Анализ графических зависимостей угла контакта α_0 от параметров действующей нагрузки и модулей упругости для ортотропных материалов показывает, что в основном на изменение численных значений параметров контакта влияет расположение волокон в двух случаях – перпендикулярном и радиальном, а влияние параллельного расположения волокон носит незначительный вклад.

ЛИТЕРАТУРА

1. Можаровский, В. В. Прикладная механика слоистых тел из композитов / В. В. Можаровский, В. Е. Старжинский. – Минск : Наука и техника, 1988. – 280 с.
2. Крагельский, И. В. Основы расчетов на трение и износ / И. В. Крагельский, М. Н. Добычин, В. С. Комбалов. – Москва : Машиностроение, 1977. – 526 с.
3. Пилюшина, Г. А. Подшипники скольжения из армированных композиционных материалов / Г. А. Пилюшина, Е. А. Памфилов, Е. В. Шевелева // Вестник Брянского государственного технического университета. – № 6 (79). – 2019. – С. 56–64.
4. Панасюк, В. В. Деякі контактні задачі теорії пружності / В. В. Панасюк, М. Й. Теплий. – Київ : Наукова думка, 1975. – 195 с.
5. Pleskachevsky, Yu. Mathematical models of contact quasi-static interaction between fibrous composite bodies / Yu. Pleskachevsky, V. Mozharovsky, Yu. Rouba // Computational methods in contact mechanics III / ed. by Alialady M. H., Samartin A. – Madrid : Computational mechanics publications. – 1997. – P. 363–372.

Поступила: 16.05.2023